

УДК 532.517

**Посохин В.Н.** – доктор технических наук, профессор

E-mail: [posohin@kgasu.ru](mailto:posohin@kgasu.ru)

**Кареева Ю.Р.** – аспирант

E-mail: [kareeva\\_87@mail.ru](mailto:kareeva_87@mail.ru)

**Казанский государственный архитектурно-строительный университет**

**Маклаков Д.В.** – доктор физико-математических наук, профессор

E-mail: [Dmitri.Maklakov@ksu.ru](mailto:Dmitri.Maklakov@ksu.ru)

**Казанский (Приволжский) федеральный университет**

## РАСЧЕТ ТЕЧЕНИЯ В ЗОНЕ РАЗВОРОТА ПЛОСКОЙ СТРУИ В ТУПИКЕ

### АННОТАЦИЯ

В рамках теории потенциальных течений идеальной жидкости определяется поле скорости в зоне разворота плоской стесненной струи в тупике.

**КЛЮЧЕВЫЕ СЛОВА:** плоская струя, тупик, зона разворота, идеальная жидкость, конформные преобразования.

**Posokhin V.N.** – doctor of technical sciences, professor

**Kareeva J.R.** – post-graduate student

**Kazan State University of Architecture and Engineering**

**Maklakov D.V.** – doctor of physical and mathematical sciences, professor

**Kazan (Volga Region) Federal University**

## CALCULATION OF THE FLOW IN THE U-TURN ZONE OF THE PLANE JET NEAR THE CHANNEL

### ABSTRACT

In the framework of the potential flow theory of an ideal fluid the velocity field in the U-turn zone of a plane jet near the dead end of a channel is determined.

**KEYWORDS:** plane jet, impasse, turn area, ideal fluid, conformal transformations.

Известно, что ширина струи в тупике возрастает до некоторого сечения, после чего следует зона разворота; струя распадается, образуя обратный поток [1].

Воспользовавшись схемой, предложенной Г.Н. Абрамовичем [2], попытаемся рассчитать характеристики течения в зоне разворота. Симметричная половина тупика показана на рис. 1а. Отрезки OF и OC – начало и конец зоны разворота. Твердая стенка (разрез MOA) разделяет струю и обратный поток. Детали течений до и после разворота не учитываем, полагая, что в бесконечно удаленных точках М и А расположены, соответственно, источник и сток интенсивностью  $L/2$  ( $L$  – расход воздуха в сечении струи, где ширина ее максимальна). Течение полагаем потенциальным.

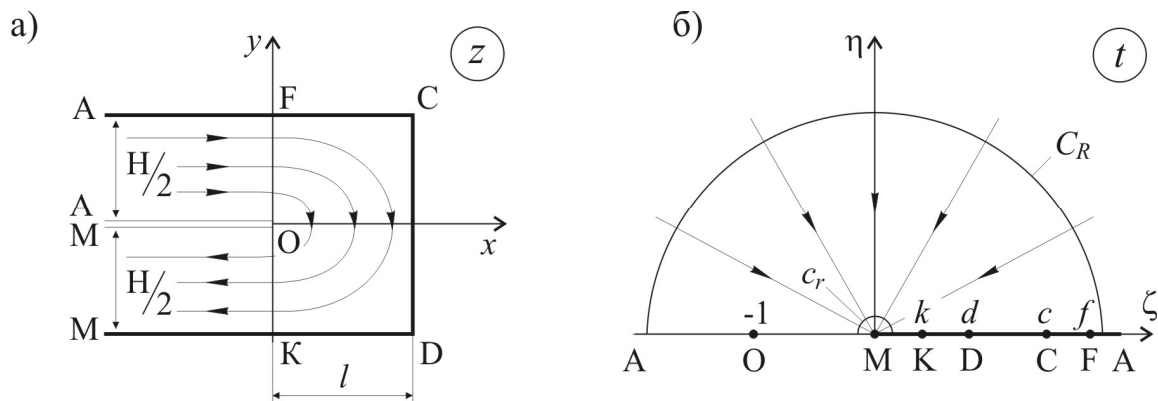


Рис. 1

Для решения воспользуемся теорией функций комплексной переменной. Отобразим область течения в физической плоскости  $z = x + iy$  на верхнюю полуплоскость  $t = x + iy$  с указанным на рисунках 1а, 1б соответствием точек. В плоскости  $t$  имеем простое течение: сток в начале координат – точка М и источник на бесконечности в точке А.

Отображение находится с помощью формулы Кристоффеля-Шварца, которая в нашем случае имеет вид

$$\frac{dz}{dt} = -\frac{H}{2p} \cdot \frac{t+1}{t\sqrt{(t-d)(t-c)}}; z = C_1 \int \frac{(t+1)dt}{t\sqrt{(t-d)(t-c)}} + C_2 = C_1 \int_{-1}^t \frac{(t+1)dt}{t\sqrt{(t-d)(t-c)}}, \quad (1)$$

где  $C_1, d, c$  – неизвестные параметры отображения.

Используем теорию вычетов, согласно которой

$$z = C_1 \int_{C_r} \frac{dz}{dt} dt = C_1 \pi i \operatorname{Res} \frac{dz}{dt} (t=0). \quad (2)$$

Здесь  $\operatorname{Res} \frac{dz}{dt} (t=0)$  – вычет функции  $\frac{dz}{dt}$  в точке М ( $t=0$ );  $C_r$  – полуокружность бесконечно малого радиуса (рис. 1б).

Опуская подробности, запишем сразу значение вычета

$$\operatorname{Res} \frac{dz}{dt} (t=0) = -\frac{1}{dc}.$$

В точке М ( $t=0$ )  $z$  совершает скачок на  $iH/2$  (рис.1а) и согласно (2)  $\frac{iH}{2} = -C_1 \frac{ip}{dc}$ .

Отсюда следует, что

$$C_1 = -\frac{H\sqrt{dc}}{2p}. \quad (3)$$

Вычислим контурный интеграл (1) по полуокружности  $C_R$  бесконечного радиуса. При  $t \rightarrow \infty$  подынтегральное выражение упрощается. Учтем также, что в точке А  $z$  совершает скачок на  $-iH/2$ . В результате имеем:

$$\frac{iH}{2} = C_1 \int_{C_r} \frac{dt}{t}.$$

Параметрическое уравнение окружности  $C_R$  запишется в виде

$$t = Re^{i\alpha} (R \rightarrow \infty, 0 \leq \alpha \leq \pi).$$

Используем известную формулу для вычисления контурных интегралов

$$\int_{C_k} f(t) dt = \int_0^p f[t(a)] t'(a) da$$

и находим

$$z = \int_{C_R} f(t) dt = \int_0^p C_1 \frac{Re^{ia}}{Re^{ia}} ida = C_1 \pi i.$$

Таким образом,  $C_1 p i = -i \frac{H}{2}$  и значит

$$C_1 = -\frac{H}{2p}, \quad \sqrt{dc} = 1. \quad (4)$$

Используя полученный результат, после взятия интеграла (1), имеем

$$z = -\frac{H}{2p} \left[ 2 \ln(\sqrt{t-d} + \sqrt{t-c}) + 2 \ln(\sqrt{dt-1} + \sqrt{ct-1}) - \ln t - 4 \ln(\sqrt{1+c} + \sqrt{1+d}) - ip \right]. \quad (5)$$

В точке С  $t = c$ ,  $z = l + i \frac{H}{2}$ , поэтому

$$z = l + i \frac{H}{2} = -\frac{H}{2p} \left[ \ln(c-d) + \ln(c^2-1) - \ln c - \ln(\sqrt{1+c} + \sqrt{1+c})^4 - ip \right]. \quad (6)$$

Выделяя действительную часть (6), после преобразований, получаем

$$c = \left( \frac{1 + e^{\frac{pl}{H}}}{1 - e^{\frac{pl}{H}}} \right)^2, \quad d = \left( \frac{1 - e^{\frac{pl}{H}}}{1 + e^{\frac{pl}{H}}} \right)^2. \quad (7)$$

Таким образом, определены параметры отображения  $d, c$  и коэффициент  $C_1$ .

Найдем теперь комплексный потенциал и комплексную сопряженную скорость течения. Очевидно, что комплексный потенциал

$$W = j + iy = -\frac{L}{2p} \ln t, \quad \frac{dW}{dt} = -\frac{L}{2p} \frac{1}{t} \quad (8)$$

Комплексная сопряженная скорость –

$$\frac{dW}{dz} = v_x - iv_y = \frac{dW}{dt} \frac{dt}{dz}. \quad (9)$$

Объединяя равенства (1), (8), получаем

$$\frac{dW}{dz} = \frac{L}{H} \frac{\sqrt{(t-d)(t-c)}}{t+1}. \quad (10)$$

Уравнения (5), (10), в принципе, дают решение поставленной задачи.

Найдем скорость на отрезке FC – ось течения где  $z = x + i \frac{H}{2}$ ,  $\frac{dW}{dz} = v_x$ ,  $c \leq t \leq f$ . Из (5)

имеем

$$x = -\frac{H}{2p} \left[ 2 \ln \sqrt{t-d} + \sqrt{t-c} + 2 \ln(\sqrt{ct-1} + \sqrt{dt-1}) - \ln t - 4 \ln(\sqrt{1+d} + \sqrt{1+c}) \right]. \quad (11)$$

При  $x=0$  отсюда определяем параметрическую координату точки  $F(t=f)$ . Далее, задавая значения  $t$  в интервале  $c \leq t \leq f$ , по уравнениям (10), (11) находим распределение скорости на ФС.

На отрезке CD  $z = l + iy$ ,  $\frac{dW}{dz} = -v_y$ ,  $c \leq t \leq d$ .

Выделяя мнимые части уравнений (5), (10), имеем

$$y = -\frac{H}{2p} \left( 2 \operatorname{arctg} \sqrt{\frac{c-d}{t-d}} + 2 \operatorname{arctg} \sqrt{\frac{1-dt}{ct-1}} - p \right); \quad (12)$$

$$v_y = -\frac{L}{H} \frac{at(1+t)(c-d)}{(bt+an+tdb)^2 + (nt-ab+tnc)^2}, \quad (13)$$

где  $a = \sqrt{t(d+c)-t^2-1}$ ,  $b = \sqrt{ct-1}$ ,  $n = \sqrt{1-dt}$ .

На отрезке DK  $z = x - i\frac{H}{2}$ ,  $\frac{dW}{dz} = v_x$ ,  $t_k \leq t \leq d$ .

В точке К  $x=0$  и уравнение принимает вид

$$x = -\frac{H}{2p} \left[ 2 \ln(\sqrt{d-t} + \sqrt{c-t}) + 2 \ln(\sqrt{1-ct} + \sqrt{1-dt}) - \ln t - 4 \ln(\sqrt{1+d} + \sqrt{1+c}) \right] = 0. \quad (14)$$

Отсюда определяется параметрическая координата  $t_k$ .

На этом отрезке равенство (10) принимает вид

$$\frac{dW}{dz} = v_x = -\frac{L}{H} \frac{a_1 b_1 + a_1 n_1}{(b_1 + n_1)(a_1 - t) + t d n_1 + t d b_1}, \quad (15)$$

где  $a_1 = \sqrt{t^2 - t(d+c) + 1}$ ,  $b_1 = \sqrt{1-tc}$ ,  $n_1 = \sqrt{1-td}$ .

Задавая  $t_k \leq t \leq d$ , по уравнениям (14) (15) определяем координаты  $x$  и соответствующие им значения скорости  $v_x$ .

На рис. 2 проведены графики зависимостей параметров  $c, d, f, k$  от безразмерного параметра  $l/H$ .

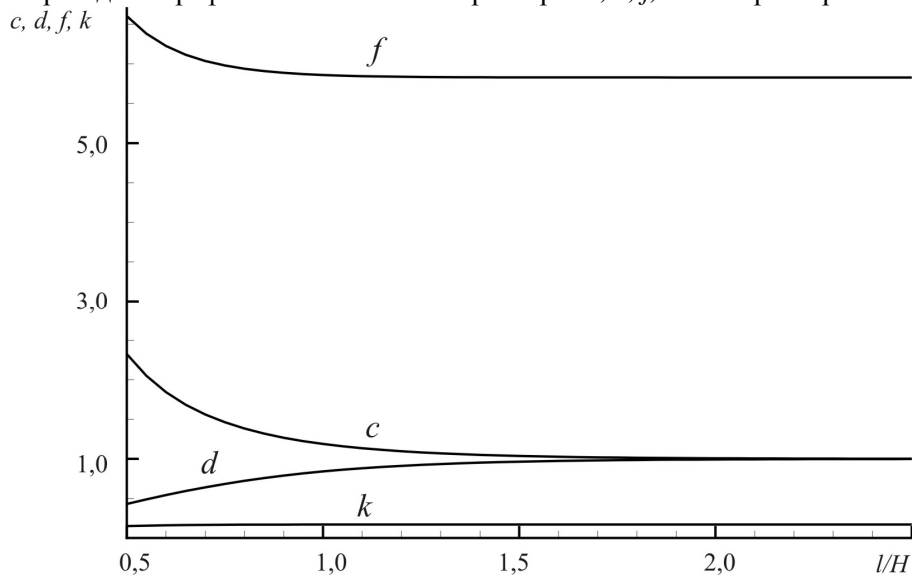


Рис. 2. Зависимость параметров  $c, d, f, k$  от  $l/H$

Рис. 3 иллюстрирует результаты расчета относительной скорости для тупиков по приведенным выше формулам. Напомним, что  $L$  – расход в стесненной струе в сечении, за которым следует зона разворота.

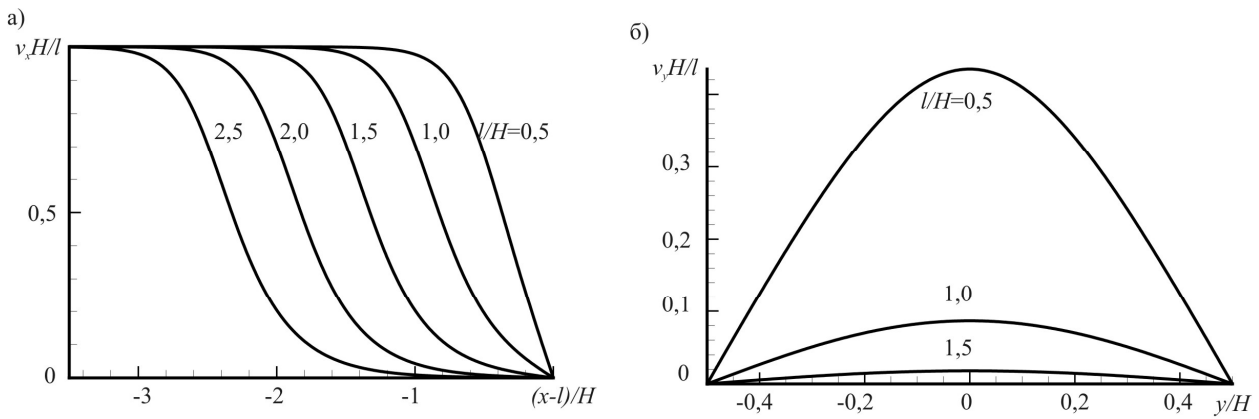


Рис. 3. Распределение скоростей на стенках тупиков при различных  $l/H$ : а – отрезок FC; б – отрезок CD

Полученные результаты могут быть использованы для расчета воздухораспределения в помещениях при тупиковой схеме подачи.

### СПИСОК ЛИТЕРАТУРЫ

1. Бахарев В.А., Трояновский В.Н. Основы проектирования и расчета отопления и вентиляции с сосредоточенным выпуском воздуха. – М.: Профиздат, 1958. – 215 с.
2. Абрамович Г.Н. Теория турбулентных струй. – М.: Физматгиз, 1960. – 715 с.